



Sol – Cecatto
Period: Jun. 02 – Jun. 09, 2025

Summary

06/02 – M3.4, M1.2 flares; Fast (≤ 900 km/s) wind stream; 4 CME can have component toward the Earth;

06/03 – M1.5 flare; Fast (≤ 650 km/s) wind stream; 1 CME can have component toward the Earth;

06/04 – M1.1 flare; Fast (≤ 800 km/s) wind stream; 1 CME can have component toward the Earth;

06/05 – No M/X flare; Fast (≤ 750 km/s) wind stream; 4 CME can have component toward the Earth;

06/06 – No M/X flare; Fast (≤ 550 km/s) wind stream; 2 CME can have component toward the Earth;

06/07 – No M/X flare; Fast (≤ 450 km/s) wind stream; No CME can have component toward the Earth;

06/08 – No M/X flare; Fast (≤ 450 km/s) wind stream; 3 CME can have component toward the Earth;

06/09 – No M/X flare; Fast (≤ 550 km/s) wind stream; No CME can have component toward the Earth

For.: Fast wind stream for the next 1-2 days; for while (25% M, 05% X) probability of M / X flares next 2 days; also, occasionally some other CME can present a component toward the Earth.

Resumo

02/06 – "Flares" M3.4, M1.2; Vento rápido (≤ 900 km/s); 4 CMEs podem ter componente p Terra;

03/06 – "Flare" M1.5; Vento rápido (≤ 650 km/s); 1 CME com componente p/ Terra;

04/06 – "Flare" M1.1; Vento rápido (≤ 800 km/s); 1 CME com componente p/ Terra;

05/06 – Sem "Flare" M/X; Vento rápido (≤ 750 km/s); 4 CME podem ter componente p Terra;

06/06 – Sem "Flare" M/X; Vento rápido (≤ 550 km/s); 2 CME podem componente p Terra;

07/06 – Sem "Flare" M/X; Vento rápido (≤ 450 km/s); No CME com componente p Terra;

08/06 – Sem "Flare" M/X; Vento rápido (≤ 450 km/s); 3 CME podem ter componente p/ a Terra;

09/06 – Sem "Flare" M/X; Vento rápido (≤ 550 km/s); Sem CME com componente para a Terra

Prev.: Vento rápido para o(s) próximo(s) 1-2 dia(s); probabilidade de "flares" M/X (25% M, 05% X) nos próximos 02 dias; eventualmente alguma(s) outra(s) CME pode(m) apresentar componente dirigida para a Terra.



Resumo

A região do meio interplanetário na última semana apresentou um nível baixo a moderada nas perturbações do plasma devido à interação de uma estrutura combinada do vento solar identificadas pelo satélite DSCOVR no meio interplanetário.

- A magnitude do campo magnético interplanetário atingiu um pico em 7 de junho às 22:30 UT de +15,96 nT devido a uma estrutura combinada do vento solar.
- As componentes BxBy apresentaram variações durante o período analisado, mantendo-se ambas oscilando no intervalo [-11, +12] nT, indicando uma possível rotação da componente By devido a uma estrutura combinada do vento solar.
- A componente Bz apresentou valores negativos durante a maior parte da semana, com um valor mínimo de -11,82 nT em 2 de junho às 09:30 UT. Foi observado um valor positivo de +11,01 nT em 8 de junho às 02:30 UT.
- O pico máximo da densidade do vento solar ocorreu em 8 de junho às 17:30 UT, atingindo 12,44 prótons/cm³.
- A velocidade do vento solar variou entre 383 e 848 km/s, com a presença de uma descontinuidade em 4 de junho às 20:30 UT.
- A posição da magnetopausa permaneceu acima da posição de equilíbrio durante toda a semana.

A Figura 2 ilustra um conjunto de parâmetros observados no vento solar pelo satélite DSCOVR. Os parâmetros medidos do vento solar podem ser identificados na seguinte ordem, começando pela coluna 1: módulo do campo magnético interplanetário (IMF), componentes Bx e By, componente Bz, campo elétrico de convecção Ey. Coluna 2: densidade do vento solar, velocidade, temperatura, e o último gráfico representa a posição da magnetopausa subsolar.

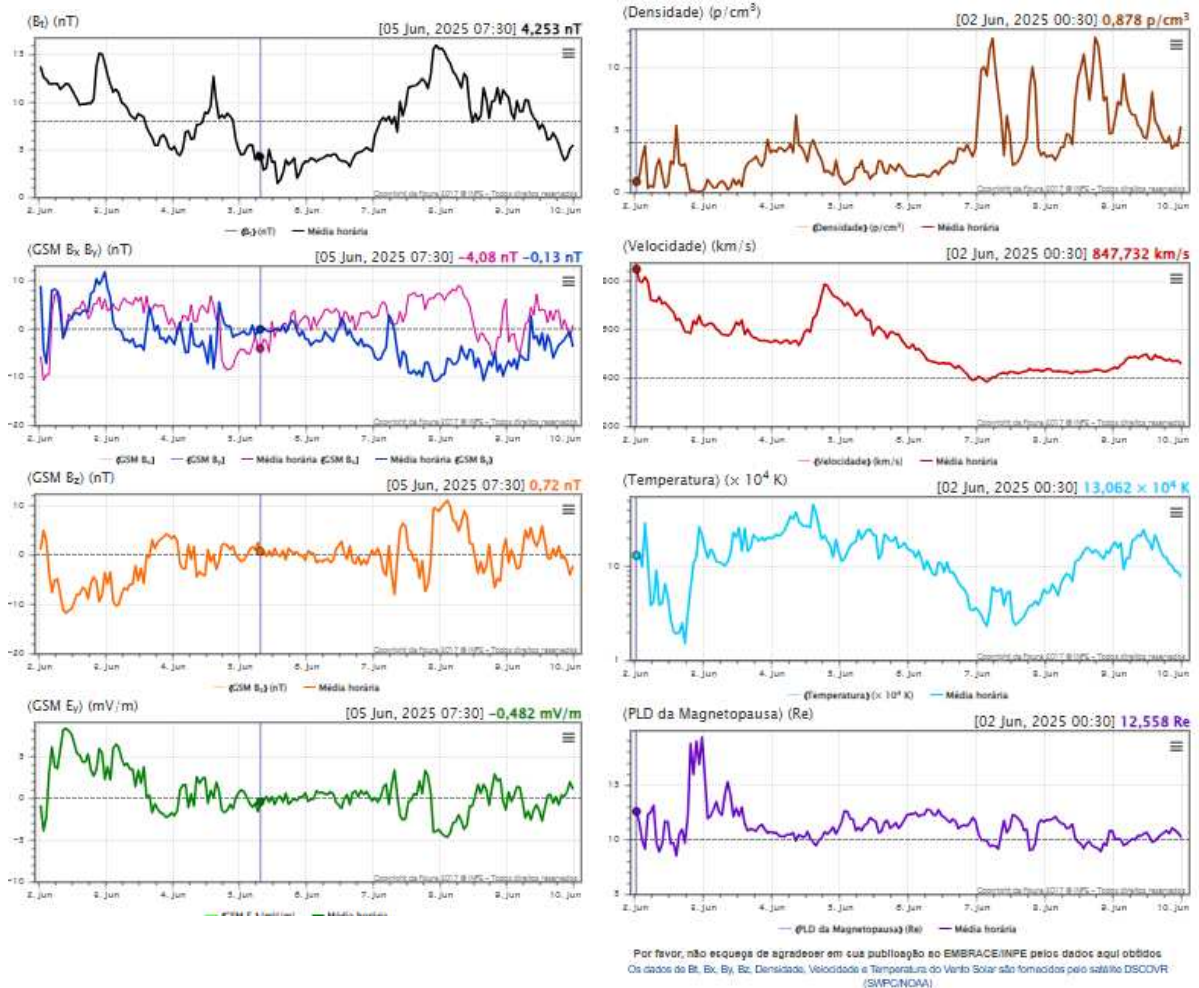


Figure 2 – Conjunto de parâmetros observados no vento solar pelo satélite DSCVR.

Resumo

Durante toda a semana, a estação de Boa Vista registrou spread F de forma consistente, enquanto quase nenhuma ocorrência foi observada em Cachoeira Paulista. Em 08 de junho, o spread F apareceu em Cachoeira Paulista. A camada Es em Boa Vista atingiu escala 4 (Figura 1).

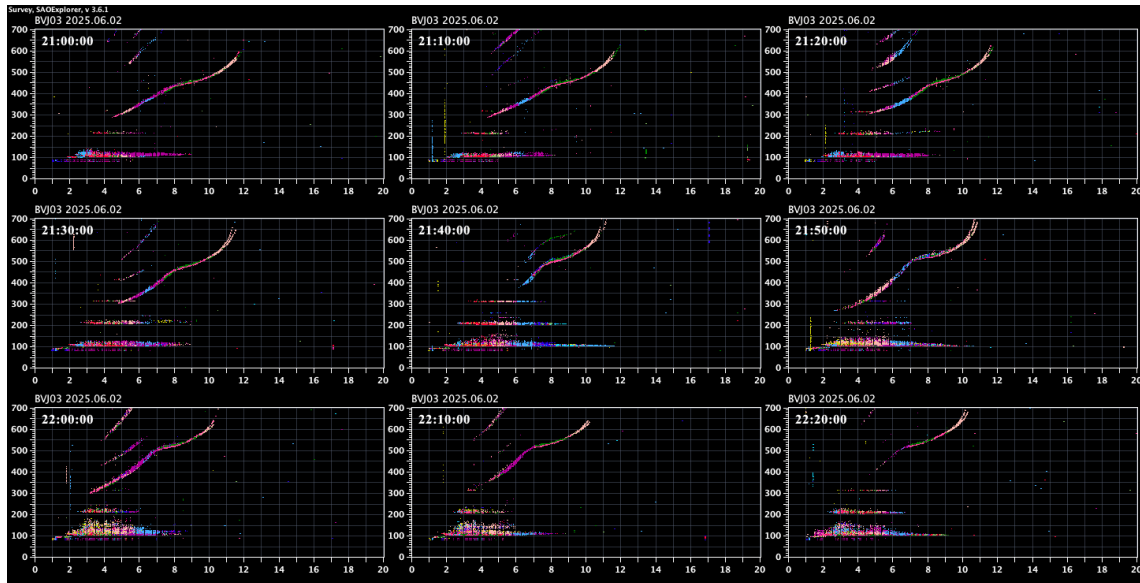


Figure 1 – Sequência de ionogramas de Boa Vista, mostrando a forte camada Es que ocorreu no dia 02 de junho de 2025.